

4. Вишнікова Т.В., Степанова Т.В. Цитокіни и адгезивные молекулы в патогенезе хронического гломерулонефрита // Нефрология и диализ. – 2002. – Т. 4, № 4. – С. 222–224.
5. Дікал М.Б., Роговий Ю.Є. Роль препарату GA-40 в корекції тубуло-інтерстиційного синдрому трихідрогенного нефриту Мазури // Клінічна анатомія та оперативна хірургія. – 2006. – Т. 5, № 3. – С. 14–16.
6. Корікова Н.Н. Патогенетические особенности различных клиническо-морфологических вариантов хронического гломерулонефрита // Нефрология. – 2005. – Т. 9, № 1. – С. 58–62.
7. Пішак В.П., Гоженко А.І., Роговий Ю.Є. Тубуло-інтерстиційний синдром. – Чернівці: Медакадемія, 2002. – 221 с.
8. Burgess E. Renal effects of angiotensin II receptor antagonists. // Blood Press. – 2001. – Vol. 10, N 1. – P. 17–20.
9. Eckardt K.U., Rosenberg C., Jorgensen J.S. et al. Role of hypoxia in the pathogenesis of renal disease // Blood Purif. – 2003. – N 21. – P. 253–257.
10. Siragy Helmy, Xue Chun, Abadir Peter et al. Angiotensin subtype 2 receptors inhibit renin biosynthesis and angiotensin II formation // Hypertension. – 2005. – Vol. 45, N 1. – P. 133–137.
11. Zhu Ning, Zheng Zhi-yong, Chen Xiang-mei. Removal of tumor necrosis factor-J and interleukin-1 by plasma exchange in patients with diffuse proliferative glomerulonephritis // J. Mod. Med. – 2004. – Vol. 14, № 9. – P. 24–30.

Слободян О.М., Ахтемійчук Ю.Т., Роговий Ю.Є. МОРФОМЕТРИЧНЕ ДОСЛІДЖЕННЯ ПАНКРЕАТОДУОДЕНАЛЬНОГО ОРГАНОКОМПЛЕКСУ В ПРЕНАТАЛЬНОМУ ПЕРІОДІ ОНТОГЕНЕЗУ ЛЮДИНИ

Буковинський державний медичний університет

МОРФОМЕТРИЧНЕ ДОСЛІДЖЕННЯ ПАНКРЕАТОДУОДЕНАЛЬНОГО ОРГАНОКОМПЛЕКСУ В ПРЕНАТАЛЬНОМУ ПЕРІОДІ ОНТОГЕНЕЗУ ЛЮДИНИ – Проведено морфометричне дослідження дванадцятипалої кишки та голівки підшлункової залози на 18 ізольованих органоокомплексах та 52 трупах плодів і новонароджених *in situ*. У плоді виявлено два періоди прискореного розвитку (на 5-му і 8-10-му місяцях) та період відносного сповільнення розвитку (на 6-му та 7-му місяцях) дванадцятипалої кишки та голівки підшлункової залози. У перший період прискореного розвитку діаметр голівки підшлункової залози були пов'язані оберненою кореляційною залежністю з довжиною висхідної частини дванадцятипалої кишки.

МОРФОМЕТРИЧЕСКОЕ ИССЛЕДОВАНИЕ ПАНКРЕАТОДУОДЕНАЛЬНОГО ОРГАНОКОМПЛЕКСА В ПРЕНАТАЛЬНОМ ПЕРИОДЕ ОНТОГЕНЕЗА ЧЕЛОВЕКА – Проведено морфометрическое исследование двенадцатиперстной кишки и головки поджелудочной железы на 18 изолированных органоокомплексах и 52 трупах плодов и новорожденных *in situ*. У плодов выявлены два периода ускоренного развития (на 5-ом и 8-10-ом месяцах) и период относительно медленного развития (на 6-ом и 7-ом месяцах) двенадцатиперстной кишки и головки поджелудочной железы. В первый период ускоренного развития длина и диаметр головки поджелудочной железы были связаны обратной корреляционной зависимостью с длиной восходящей части двенадцатиперстной кишки.

MORPHOMETRIC STUDIES OF PANCREATO-DUODENAL ORGANOCOMPLEX DURING PRENATAL PERIOD OF HUMAN ONTOGENESIS – A morphometric study of duodenum and the head of pancreas on 18 isolated organocomplexes and 52 corpuses of fetuses and newborns *in situ* has been carried out. Two periods of accelerated development (in months 5 and 8-10) and the period of relatively slow development (in months 6 and 7) of duodenum and the head of pancreas have been revealed. During the first period of accelerated development the length and diameter of the head of pancreas were correlated by inverse correlation relationship with the length of ascending portion of the duodenum

Ключові слова: дванадцятипалька кишка, голівка підшлункової залози, морфометрія, плід, новонароджений, людина.

Ключевые слова: двенадцатиперстная кишка, головка поджелудочной железы, морфометрия, плод, новорожденный, человек.

Key words: duodenum, pancreas head, morphometry, fetus, newborn, human.

ВСТУП. Вивчення закономірностей органогенезу людини набуває зараз суттєвого клінічного значення [8]. Завдяки розвитку методів дослідження будова людського тіла, кількісні параметри анатомічних структур набувають важливого значення в діагностиці та лікуванні внутрішніх хвороб [1, 6]. Ембріологічні дослідження вкрай потрібні для розробки нових ефективних способів оперативних втручань та профілактики перинатальної патології [4].

Відомості про синтотічні кореляції дванадцятипалької кишки (ДПК) і голівки підшлункової залози (ПЗ) в пренаatalному періоді онтогенезу людини сприяють розумінню механізмів їх нормального формоутворення і становлення топографії [2]. Успіх оперативних втручань на панкреатоду-

оденальному органокомплексі в новонароджених і дітей раннього віку істотно залежить від вивчення топографо-анатомічних особливостей ДПК і ПЗ на ранніх етапах онтогенезу [7, 9]. Крім того, для визначення закономірностей процесів органогенезу ДПК і голівки ПЗ слід звернути особливу увагу на особливості морфометричних змін у періоди їх прискореного і сповільненого розвитку [3, 5]. Відночес динаміка морфометричних змін всіх відділів ДПК і голівки ПЗ у пренаatalному періоді онтогенезу досі дещо недостатньо.

Мета дослідження – встановити хронологичну й співдовіність морфометричних змін між частинами дванадцятипалької кишки та голівкою підшлункової залози у плодів і новонароджених.

МАТЕРІАЛ І МЕТОДИ Дослідження проведено на 18 ізольованих органоокомплексах і 52 трупах плодів і новонароджених *in situ* методами макромікроспеціалузації, заготовлення топографо-анатомічних зразків у трохи- і зглибинноперпендикулярних глюцинах, морфометрії. Статистична обробка даних, включаючи кореляційний аналіз, проводилася за допомогою комп’ютерних програм "Statgraphics" та "Excel 7.0".

РЕЗУЛЬТАТИ ДОСЛІДЖЕННЯ ТА ЇХ ОБГОВОРЕННЯ Голівка ПЗ зі всіх сторін оточена всіма частинами ДПК і заходитьться у тісному топографо-анатомічному взаємовідношенні (рисунок).

Результати наших досліджень показали, що діаметр верхньої частини ДПК найбільш істотно зростає на 5-му місяці, порівняно з 4-м місяцем, з подальшим сповільненим збільшенням цього показника на 6-10 місяцях (табл. 1). Схожа закономірність характерна для довжини верхньої частини ДПК з відмінністю її прискореного збільшення на 8-10 місяцях. Діаметр низхідної частини ДПК суттєво збільшується на 6-му місяці, порівняно з 4-м місяцем, з наступним поступовим збільшенням цього показника на 6-10 місяцях. Довжина низхідної частини ДПК суттєво збільшується на 5-му і 8-10 місяцях з незначним сповільненням цього показника на 6-му і 7-му місяцях. Діаметр низхідної частини ДПК істотно зростає на 5-му місяці, порівняно з 4-м місяцем, з подальшим сповільненим збільшенням цього показника на 6-10 місяцях. Довжина низхідної частини ДПК істотно збільшується на 5-му і 8-10 місяцях, на 6-му і 7-му місяцях її довжина зростає поступово. Діаметр висхідної частини ДПК істотно зростає на 6-му місяці, порівняно з 4-м місяцем, з подальшим сповільненим збільшенням діаметра на 6-10 місяцях. Довжина висхідної частини ДПК суттєво збільшується на 5-му і 8-10 місяцях зі сповільненням на 6-му і 7-му місяцях. Діаметр

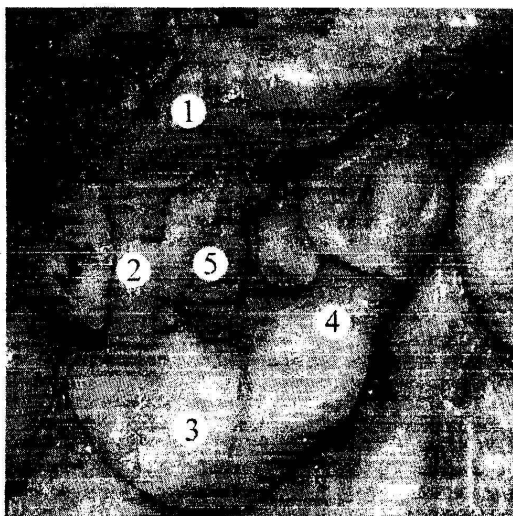


Рис. Панкреатодуоденальний органокомплекс плода 300,0 мм ТПД. Макропрепарат. Зб. х1,4

1 – верхня частина дванадцятапої кишки; 2 – низідна частина дванадцятапої кишки; 3 – нижня частина дванадцятапої кишки; 4 – висідна частина дванадцятапої кишки; 5 – голівка підшлункової залози.

жина та діаметр голівки ПЗ істотно зростає на 5-му та 8-10 місяцях зі сповільненням на 6-му і 7-му місяцях.

У перший період прискореного розвитку ДПК та голівки ПЗ на 5-му місяці встановлені прямі кореляційні залежності тім'яно-п'яткової довжини (ТПД) плода з діаметрами низідної та висідної частин ДПК (табл. 2). Довжина верхньої частини ДПК позитивно корелює з діаметром низідної частини та пов'язана прямою кореляційною залежністю з довжиною голівки ПЗ. Діаметр низідної частини ДПК позитивно корелює з її довжиною. Діаметр низідної частини ДПК прямо пропорційно корелює з діаметром висідної ча-

стини. Довжина низідної частини ДПК позитивно корелює з довжиною висідної частини. З довжиною висідної частини ДПК виявлено обернену кореляційну залежність з довжиною та діаметром голівки ПЗ. Довжина голівки ПЗ позитивно корелює з її діаметром.

Отже, в динаміці розвитку ДПК та голівки ПЗ можна виділити два періоди прискореного розвитку (на 5-му і 8-10-му місяцях) та період відносного сповільнення (на 6-му та 7-му місяцях). Другий період прискореного розвитку характерний не для всіх морфометрических параметрів, а є характерним для довжини всіх частин ДПК та довжини і діаметра голівки ПЗ. Виявлено у першій період прискореного розвитку ДПК та голівки ПЗ на 5-му місяці прямі кореляційні залежності розміру ТПД плода з діаметрами низідної та висідної частин ДПК зумовлені однаковою швидкістю біосинтетичних процесів морфологічних параметрів і плода в цілому. Прямі кореляційні залежності між розмірами різних частин ДПК зумовлені інтеграцією прискореного розвитку досліджуваних структур. Позитивна кореляційна залежність довжини верхньої частини ДПК з довжиною голівки ПЗ вказує на синергізм розвитку цих структур. Обернені кореляційні залежності довжини висідної частини ДПК з довжиною і діаметром ПЗ вказують на антагонізм розвитку цих структур в першій прискорений період розвитку. Позитивна кореляція довжини голівки ПЗ з її діаметром вказує на гармонічність розвитку цих структур.

ВИСНОВКИ. 1. Виявлено два періоди прискореного розвитку дванадцятапої кишки і голівки підшлункової залози – на 5 і 8-10 місяцях та період сповільнення збільшення їх розмірів – на 6-му і 7-му місяцях. 2. У першій період прискореного розвитку довжина та діаметр голівки підшлункової залози пов'язані оберненою кореляційною залежністю з довжиною висідної частини дванадцятапої кишки.

Обґрунтованою перспективою подальших досліджень є з'ясування кореляційних залежностей між морфометрическими показниками дванадцятапої кишки та голівкою підшлункової залози в динаміці впродовж всього періоду онтогенезу людини.

Література

1. Афанасов М. В. Диагностика и лечение повреждений органов брюшной полости и забрюшинного пространства у детей // Детская хирургия. 2001. – № 4. – С. 42-46.

Таблиця 1 Динаміка морфометрических параметрів дванадцятапої кишки та голівки підшлункової залози в пренатальному періоді онтогенезу людини ($x \pm Sx$)

Показники	4 місяць (n=14)	5 місяць (n=14)	6 місяць (n=14)	7 місяць (n=14)	8-10 місяці (n=14)
Діаметр верхньої частини дванадцятапої кишки, мм	3,44±0,108	4,35±0,111 <i>p<0,001</i>	4,91±0,179 <i>p<0,001</i>	5,31±0,199 <i>p<0,001</i>	6,02±0,250 <i>p<0,001</i>
Довжина верхньої частини дванадцятапої кишки, мм	5,26±0,115	7,11±0,491 <i>p<0,01</i>	6,54±0,566 <i>p<0,05</i>	7,38±0,434 <i>p<0,001</i>	9,73±1,000 <i>p<0,001</i>
Діаметр низідної частини дванадцятапої кишки, мм	3,37±0,078	4,49±0,158 <i>p<0,001</i>	4,81±0,116 <i>p<0,001</i>	5,32±0,285 <i>p<0,001</i>	5,77±0,240 <i>p<0,001</i>
Довжина низідної частини дванадцятапої кишки, мм	6,65±0,177	8,49±0,334 <i>p<0,001</i>	10,11±0,532 <i>p<0,001</i>	10,03±0,532 <i>p<0,001</i>	12,38±0,400 <i>p<0,001</i>
Діаметр низідної частини дванадцятапої кишки, мм	3,61±0,116	4,67±0,148 <i>p<0,001</i>	4,92±0,216 <i>p<0,001</i>	5,82±0,191 <i>p<0,001</i>	6,72±0,100 <i>p<0,001</i>
Довжина низідної частини дванадцятапої кишки, мм	4,82±0,138	6,15±0,265 <i>p<0,001</i>	7,14±0,519 <i>p<0,001</i>	7,41±0,610 <i>p<0,001</i>	8,77±0,400 <i>p<0,001</i>
Діаметр висідної частини дванадцятапої кишки, мм	3,34±0,108	4,12±0,111 <i>p<0,001</i>	4,82±0,199 <i>p<0,001</i>	5,22±0,201 <i>p<0,001</i>	6,00±0,200 <i>p<0,001</i>
Довжина висідної частини дванадцятапої кишки, мм	6,11±0,167	7,07±0,232 <i>p<0,01</i>	8,13±0,431 <i>p<0,001</i>	7,87±0,406 <i>p<0,001</i>	10,33±0,400 <i>p<0,001</i>
Довжина голівки підшлункової залози, мм	6,48±0,088	7,27±0,263 <i>p<0,01</i>	8,62±0,271 <i>p<0,001</i>	7,64±0,242 <i>p<0,001</i>	10,72±0,200 <i>p<0,001</i>
Діаметр голівки підшлункової залози, мм	3,87±0,106	4,91±0,202 <i>p<0,001</i>	4,86±0,212 <i>p<0,001</i>	5,19±0,430 <i>p<0,001</i>	6,04±0,200 <i>p<0,001</i>

Примітка: *p* – вірогідність відмінностей порівнянно з 4 місяцем онтогенезу; *n* – число спостережень.

Вивчення зв'язків між ТПД, розмірами дванадцятапалої кишки та голівки підшлункової залози на 5 місяці розвитку

Показник	Залежність від морфологічних зв'язків	Коефіцієнт кореляції, г	Вірогідність кореляційного зв'язку, р
Величина Розмір ТПД	Діаметр нижньої частини дванадцятапалої кишки	0,553	< 0,05
Розмір ТПД	Діаметр висхідної частини дванадцятапалої кишки	0,683	< 0,01
Довжина верхньої частини дванадцятапалої кишки	Діаметр низхідної частини дванадцятапалої кишки	0,702	< 0,01
Довжина верхньої частини дванадцятапалої кишки	Довжина голівки підшлункової залози	0,607	< 0,05
Діаметр низхідної частини дванадцятапалої кишки	Довжина низхідної частини дванадцятапалої кишки	0,615	< 0,02
Діаметр нижньої частини дванадцятапалої кишки	Діаметр висхідної частини дванадцятапалої кишки	0,719	< 0,01
Довжина низхідної частини дванадцятапалої кишки	Довжина висхідної частини дванадцятапалої кишки	0,799	< 0,001
Довжина висхідної частини дванадцятапалої кишки	Довжина голівки підшлункової залози	-0,564	< 0,05
Довжина висхідної частини дванадцятапалої кишки	Діаметр голівки підшлункової залози	-0,546	< 0,05
Довжина голівки підшлункової залози	Діаметр голівки підшлункової залози	0,651	< 0,02

2. Ахтемійчук Ю.Т. Особливості топографо-анатомічних взаємовідношень дванадцятапалої кишки з органами та структурами черевної порожнини плода // Бук. мед. вісник. – 1998. – Т. 2, № 4. – С. 188–192.

3. Власова О.В. Морфогенез дванадцятапалої кишки // Укр. морфол. альманах. – 2004. – Т. 2, № 1. – С 24–26.

4. Круцик В.М., Проняєв В.І., Ахтемійчук Ю.Т. Значення ембріологічних досліджень на сучасному етапі розвитку морфологічної науки // Бук. мед. вісник. – 1998. – Т. 2, № 1. – С. 3–7.

5. Мигляс В.Г., Лойтра А.О. Етапи формування дванадцятапалої кишки у пренатальному періоді розвитку // Укр. мед. альманах. – 1998. – № 3. – С. 16–17.

6. Цуман В.Г., Щербина В.И., Машков А.Е. и др. Изслідування пограничної забрюшинної часті дванадцятиперстної кишки у дітей // Діл. хірургія. – 2002. – № 3. – С. 4–7.

7. Baron T.H., Thagard W.C., Morgan D.E. et al. Endoscopic therapy of organized pancreatic necrosis // Gastroenterology. – 1996. – V. 111, № 3. – 755–764.

8. Buck P., Abdel-Moneim M., Egerbacher M. Development of pancreas Microsc. Res. Techn. – 1997. – V. 37, № 5–6. – P. 374–383.

9. Ryerson R., McAlister W.H. Duodenocolostomy. A surgical complication duodenal atresia repair // Can. Assoc. Radiol. J. – 1995. – V. 47, № 4. – 277–271.

Чарнош С.Н.

ПОРІВНЯЛЬНА ХАРАКТЕРИСТИКА ТРІОХ ЕКСПЕРИМЕНТАЛЬНИХ МОДЕЛЕЙ ГІПОТІРЕОЗУ

Тернопільський державний медичний університет імені І.Я. Горбачевського

ПОВІРНЯЛЬНА ХАРАКТЕРИСТИКА ТРІОХ ЕКСПЕРИМЕНТАЛЬНИХ МОДЕЛЕЙ ГІПОТІРЕОЗУ. Це застосування способів впливу на щитоподібну залозу, які дають доситьння глубокого гіпотіреозу. За ефективності вони можуть бути віднесені так (в порядку нарощення глибиною) – гіпотіреоцитомія > годування мерказолілом > тиреоїдектомія > кортизолом.

СРАВНІТЕЛНА ХАРАКТЕРИСТИКА ТРІОХ ЕКСПЕРИМЕНТАЛЬНИХ МОДЕЛЕЙ ГІПОТІРЕОЗУ. Це застосування способів воздействия на щитоподібну залозу, які дають доситьння глубокого гіпотіреозу. По ефективності вони можуть бути віднесені так (в порядку нарощення глибиною) – тиреоїдектомія > кортизолом > годування мерказолілом.

COMPARATIVE CHARACTERISTICS OF THREE EXPERIMENTAL MODELS OF HYPOTHYROIDISM. This is the application of methods of influence on the thyroid gland, which give a sufficiently deep hypothyroidism. According to efficiency they are arranged thus (in the order of increasing depth of hypothyroid state): the thyroidectomy > feeding with cortisol > treatment with mercaptopurine.

Ключові слова:

Ключевые слова:

Key words: гіпотіреоз

ВСТУП. Експериментальні моделі гіпотіреозу можуть бути отримані або за

допомогою тиреостатиків. Тиреоїдектомія виконується як роботи з дрібними лабораторними тваринами (шурами) [2, 3], так і при відтворенні гіпотіреозу на великих тваринах – собаках [4], ягнятах [5], конях [6], де цей спосіб має переваги. Як тиреостатики найчастіше застосовують похідні тіосечовини – проптиюрацил [7, 8, 9], 2-тиокриан [10] мерказоліл [11], які вводять разом з протягом 1-8 тижнів. Коли ж із цих способів можна досягти гіпотіреоїдного стану глибиною якого визначатиметься тривалістю післяопераційного періоду або величиною дози тиреостатика.

Мета дослідження – зіставити глибину гіпотіреоїдного стану при моделюванні гіпотіреозу шляхом тиреоїдектомом зведення мерказолілу і поєднання обидвох способів.

МАТЕРІАЛИ І МЕТОДИ. Експерименти виконано на 39 білих статевонезрілих шурах-самцях віком 1,5–2 місяці, які були розподілені на 3 групи. В перший групу тиреоїд викилили за допомогою мерказолілу, в другий – шляхом тиреоїдектомії, в третій – комбінацією перших двох способів.

За критерії глибини гіпотіреоїдного стану було взято такі показники: частоту серцевих скорочень, ректальну температуру і об'єм поглинутого кисню. Їх визначали двічі